

©1994

СИНТЕЗ И МЕССБАУЭРОВСКИЕ ИССЛЕДОВАНИЯ МОНОКРИСТАЛЛОВ Fe_3VO_6 , ДОПИРОВАННЫХ ИОНАМИ Ga

A.C.Камзин, П.П.Сырников, С.А.Камзин

Методом спонтанной кристаллизации из раствора в расплаве синтезированы монокристаллы Fe_3VO_6 , допированные ионами Ga, имеющие химическую формулу $\text{Fe}_{3-x}\text{Ga}_x\text{VO}_6$. Проведены исследования кристаллов $\text{Fe}_{2.75}\text{Ga}_{0.25}\text{VO}_6$, состав которых был подтвержден данными рентгеновского микролитографии. Для исследований был использован метод мессбауэровской спектроскопии в геометрии пропускания гамма-излучения через вещество. Определены параметры сверхтонкого взаимодействия (эффективные магнитные поля на ядрах ионов железа, квадрупольные расщепления и изомерные химические сдвиги), определены температуры Нееля ($T_N = 493$ К) и спин-переориентационного фазового перехода ($T_R^1 = 375$ К). Исследования показали, что при такой величине замещения ионов железа ионами галлия наблюдается понижение температуры Нееля (по сравнению с кристаллом Fe_3VO_6 без допирования), а также температуры спин-переориентационного фазового перехода и эффективных магнитных полей на ядрах ионов железа, однако не наблюдается изменения величиина изомерных химических сдвигов и квадрупольных расщеплений.

В настоящее время большое внимание привлекают исследования магнитных свойств поверхности кристаллов, поскольку понижение симметрии поверхности может индуцировать новые магнитные структуры и интересные магнитные явления. Основная масса таких исследований выполнена на сверхтонких пленках, и изучалась только область фазового перехода в точке Кюри (типа порядок-беспорядок). Однако для понимания поверхностных явлений, для установления связей эффектов на поверхности и в объеме материала необходимы исследования поверхности объемных (макроскопических) кристаллов, а также профилей изменения свойств (послойный анализ) поверхностного слоя. Особенно интересны явления на поверхности макрокристаллов при фазовых переходах в их объеме. Такие исследования были проведены авторами [1-6] на макроскопических монокристаллах Fe_3VO_6 и FeVO_3 с использованием нового метода одновременной гамма-, рентгеновской и электронной мессбауэровской спектроскопии (ОГРЭМС), впервые предложенной авторами в [1] и описанной в [7]. Достоинство метода ОГРЭМС заключается в том, что он позволяет проводить исследования свойств поверхности и объема макроскопического кристалла одновременно.

Теоретические рассмотрения поверхностных явлений макрокристаллов показали, что фазовые переходы на поверхности связаны с пе-

реходами в объеме того же кристалла, но могут протекать по-другому [8,9].

Экспериментальные исследования, проведенные методом ОГРЭМС, показали, что центр области переориентационного фазового перехода на поверхности совпадает с центром области СПФП в объеме кристалла [1,3], но при приближении к поверхности переориентационный переход первого рода превращается в фазовый переход второго рода [4,5]. Полученные данные согласуются с выводами теоретических исследований [8,9].

Экспериментально (см. обзор [10] и ссылки в нем) было обнаружено, что температура перехода в парамагнитное состояние поверхностного слоя выше, чем точка Кюри для массивного образца. Исследования методом ОГРЭМС кристаллов Fe_3VO_6 и FeBO_3 в области точки Нееля показали, что по мере приближения к поверхности кристалла наблюдается понижение температуры перехода в парамагнитное состояние [2,3,6]. Одной из причин изменения температуры перехода в парамагнитное состояние на поверхности кристалла является, по мнению многих авторов, уменьшение количества магнитных соседей ионов, находящихся на поверхности, что приводит к изменению энергии обменного взаимодействия поверхностных ионов. Исходя из этого, представляется исследовать поведение ионов в поверхностном слое в зависимости от типа и количества магнитных соседей. Для таких целей очень перспективными являются монокристаллы Fe_3VO_6 и FeBO_3 , часть ионов железа в которых замещена диамагнитными или магнитными ионами.

Соединение семейства боратов в виде монокристаллов Fe_3VO_6 было открыто при изучении условий выращивания кристаллов FeBO_3 , дopedированных различными ионами переходных элементов [11]. Нейтронографические измерения показали [12], что это антиферромагнетик, в котором ионы железа в элементарной ячейке занимают кристаллографически эквивалентные октаэдрические позиции, не эквивалентные магнитно. Из 12 ионов Fe^{3+} в элементарной ячейке 4 иона имеют 8 магнитоактивных связей с ближайшими Fe^{3+} , а остальные 8 ионов железа имеют по 6 связей. Эти неэквивалентные в магнитном отношении положения обозначаются 4c и 8d соответственно.

Дальнейшие исследования показали, что соединение Fe_3VO_6 имеет ряд интересных свойств. Так, при $T_R^1 = 415 \text{ K}$ в Fe_3VO_6 был обнаружен спин-переориентационный фазовый переход (СПФП) типа $F_xG_z - F_zG_x$ [12–15], наблюдающийся в ортоферритах. Однако в отличие от ортоферритов этот переход в Fe_3VO_6 происходит в очень узком интервале температур (менее 1 K) [12,13]. Изучению такого необычного СПФП в Fe_3VO_6 было посвящено большое число работ [14–20]. Многие авторы пытались определить тип СПФП. Так, в [17] был сделан вывод, о том, что СПФП в Fe_3VO_6 ближе к первому, тогда как в [16,18] было сделано предположение, что этот СПФП второго рода. И только авторами [19,20] с помощью мессбауэровской спектроскопии в геометрии пропускания гамма-излучения через вещество (традиционная мессбауэровская спектроскопия — ТМС) было доказано, что СПФП в Fe_3VO_6 является фазовым переходом первого рода и сопровождается образованием смешанного состояния, в котором существуют обе фазы.

Для макроскопических кристаллов Fe_3VO_6 были определены критические индексы [21–23]. В работе [22] при исследованиях Fe_3VO_6 в области температуры Нееля с помощью эффекта Мессбауэра, позволяющего наблюдать за поведением неэквивалентных подрешеток по отдельности, был обнаружен новый эффект «расщепления» критических индексов. Суть этого эффекта в том, что критические индексы, описывающие поведение неэквивалентных подрешеток, несколько отличаются по величине. Это явление, хотя и опровергалось в [23], находится в согласии с выводами теории [24] и подтверждается данными исследований на других объектах, например [25].

Авторами [26] при изучении свойств Fe_3VO_6 был обнаружен новый СПФП, ранее не наблюдавшийся в магнитных материалах. Позже этот переход в Fe_3VO_6 наблюдали в [23]. Суть этого СПФП в том, что при нагревании кристалла Fe_3VO_6 при температуре $T_R^2 = 490$ К ось антиферромагнетизма 4с-подрешетки начинает отклоняться от кристаллографической оси α , тогда как другая антиферромагнитная подрешетка (8d) не меняет своей ориентации.

Необычность явлений, наблюдавшихся в кристаллах Fe_3VO_6 , повлекла за собой ряд работ [27–29], в которых изучались возможности синтеза этого соединения с замещением ионов железа магнитными или диамагнитными ионами и исследовалось влияние такого замещения на магнитные свойства полученных соединений. Были синтезированы кристаллы $\text{Fe}_{3-x}\text{M}_x\text{VO}_6$, в которых ионы железа замещены ионами Ga [27]. Исследования показали, что при замещении ионов железа диамагнитными ионами галлия наблюдается существенный сдвиг температур Нееля и переориентация спинов (T_R^1) в сторону низких температур. При этом зависимости изменения этих величин от содержания галлия почти линейны [27].

В работах [28, 29] изучалось влияние замещения ионов железа в Fe_3VO_6 как одним типом ионов Ga, Al, Cr или Co [28], так и сочетаниями ионов Co и Ti или Zn и Ni [29]. В результате было обнаружено, что при замещении ионов железа сочетанием ионов кобальта и титана до 6 at.% температура переориентации спинов T_R^1 понижается до 0 К. При дальнейшем повышении концентрации ионов кобальта и титана образуется новая антиферромагнитная фаза Γ_1 , имеющая спиновую конфигурацию G_y . Таким образом, переориентационный фазовый переход $F_xG_z - F_zG_x$ превращается в СПФП типа Морина $F_zG_x - G_y$, при котором слабый ферромагнитный момент исчезает. При дальнейшем увеличении содержания ионов кобальта и титана температура, при которой имеет место СПФП типа Морина, возрастает до 259 К при 36 at.%.

Исходя из вышеизложенного, можно сделать вывод, что кристаллы семейства боратов имеют ряд интересных магнитных свойств, исследования которых могут дать важную информацию для понимания фундаментальных явлений, наблюдавшихся как на поверхности, так и в объеме кристалла. Целью настоящей работы было 1) изучить условия синтеза монокристаллов Fe_3VO_6 , в которых ионы железа частично замещены диамагнитными ионами галлия, и 2) провести исследования кристаллических и магнитных свойств полученных соединений.

Кристаллы $\text{Fe}_{3-x}\text{M}_x\text{BO}_6$ (где $\text{M}=\text{Ga}$) были выращены методом спонтанной кристаллизации из раствора в расплаве. В основу условий синтеза были взяты данные по получению соединения Fe_3BO_6 без додирования, описанные в работе [11], а также данные работ [27–29], в которых описаны условия выращивания кристаллов Fe_3BO_6 , додированных различными ионами. В качестве растворителя использовалась смесь окислов висмута и бора. Для получения необходимого содержания Ga в кристаллах была использована зависимость содержания этого элемента в кристалле от состава шихты, найденная в [27]. Шихта в виде перемешанных окислов соответствующих элементов была помещена в платиновый тигель и высушивалась при 200°C . После этого температура повышалась до 1200°C и выдерживалась в течение 12 h. Затем температура плавно понижалась до 600°C и после этого печь выключалась и охлаждалась до комнатной температуры. Полученные кристаллы были черного или темно-красного цвета и имели форму пластинок размерами до $5 \times 7 \times 1\text{ mm}$.

Для исследований были выбраны кристаллы, имеющие химическую формулу $\text{Fe}_{2.75}\text{Ga}_{0.25}\text{BO}_6$, что было подтверждено рентгеновским микроанализом. Рентгеновские исследования показали, что полученное соединение имеет орторомбическую кристаллическую структуру; пространственная группа $Pmna$. Плоскости синтезированных монокристаллических пластинок соответствует плоскость (100).

Исследования магнитных свойств полученных кристаллов проведены методом мессбауэровской спектроскопии в геометрии пропускания гамма-излучения через вещество — ТМС. Для измерений использовались монокристаллы, имеющие зеркальную грань; какой-либо специальной обработке они не подвергались. Исследования проведены на автоматизированном мессбауэровском спектрометре, закон движения источника гамма-квантов в котором имел треугольную форму и линейность его корректировалась дополнительным каналом [30]. Источник гамма-излучения Co^5 в матрице Rh. Для температурных измерений использовалась малоградиентная печь.

Анализ экспериментальных мессбауэровских спектров кристаллов $\text{Fe}_{2.75}\text{Ga}_{0.25}\text{BO}_6$ показал, что их можно разделить на четыре группы Γ_2 , Γ_3 , Γ_c , Γ_p , соответствующие определенным температурным областям. Примеры характерных экспериментальных спектров для каждой области показаны на рис. 1. Облегчению математической обработки экспериментальных спектров способствовали следующие обстоятельства, которые были использованы: 1) количество ионов железа в $8d$ - и $4s$ -положениях и, следовательно, интенсивности этих линий относятся как 2:1; 2) $8d$ - и $4s$ -ионы железа находятся в октаэдрических положениях, но разное количество магнитных связей приводит к тому, что эффективные магнитные поля на ядрах ионов в $8d$ - и $4s$ -положениях отличаются друг от друга, а благодаря квадрупольным расщеплениям линий секстиплетов существенно сдвигаются в противоположные стороны; 3) ориентация волнового вектора гамма-излучения в области точки Нееля вдоль направления эффективных магнитных полей в кристалле уменьшает количество линий в экспериментальном спектре, поскольку вторые и пятые линии зеемановских секстиплетов в этом случае отсутствуют.

Экспериментальные спектры, наблюдавшиеся в области температур до T_R^1 , обозначенной фазой Γ_2 , а также спектры, полученные в области

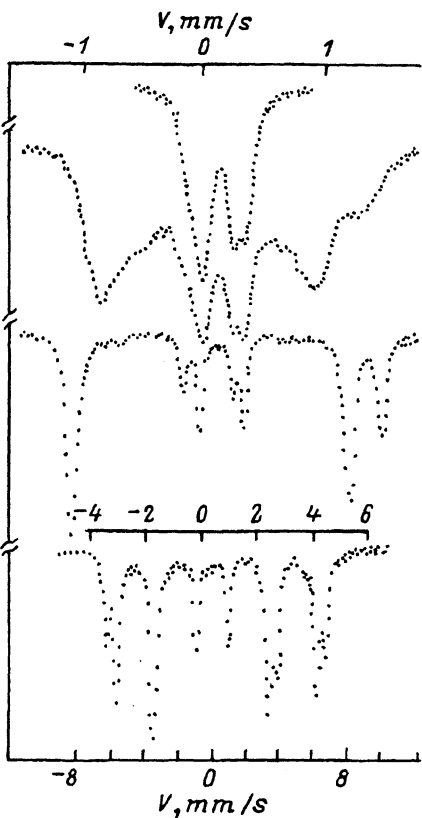


Рис. 1. Мессбауэровские спектры $\text{Fe}_{2.75}\text{Ga}_{0.25}\text{BO}_6$, полученные при регистрации γ -квантов при температурах (снизу вверх) 350, 410, 488, 496 К, т.е. в областях Γ_2 , Γ_3 , Γ_c , $\Gamma\Gamma$ соответственно. Верхняя шкала скоростей относится к двум верхним спектрам.

температур от T_R^2 до T_c (фаза Γ_3), представляют собой наложение двух зеемановских секстиплетов, соответствующих $8d$ - и $4c$ -ионами железа. Интенсивности линий секстиплетов $8d$ и $4c$ относятся как 2:1. В области Γ_2 вторые и пятые линии секстиплетов, соответствующие переходам $\pm 1/2$, $\mp 1/2$, т.е. с $m = 0$, отсутствуют. Таким образом, соотношение линий в секстиплетах в этой области, равное 3:0:1:1:0:3, указывает на то, что магнитные моменты ионов железа параллельны волновому вектору гамма-квантов, который в свою очередь был ориентирован вдоль кристаллографической оси a . В спектрах, снятых в области Γ_3 , интенсивности линий в секстиплетах относятся как 3:4:1:1:4:3, что означает перпендикулярность магнитных моментов ионов железа волновому вектору гамма-квантов.

Мессбауэровские спектры, полученные в области температур от T_R^1 до T_R^2 , представляют собой суперпозицию спектров фаз Γ_2 и Γ_3 . Линии спектра, соответствующего фазе Γ_3 , появляются при температуре T_R^1 , и интенсивности их растут по мере повышения температуры от T_R^1 до T_R^2 . Интенсивности линии фазы Γ_2 при этом уменьшаются, и при T_R^2 они исчезают. Эти результаты убедительно свидетельствуют о том, что переориентация спинов в исследуемом кристалле происходит скачком, т.е. как фазовый переход первого ряда. Кроме того, переориентацион-

ный переход сопровождается образованием неоднородного состояния аналогично наблюдаемому в Fe_3VO_6 без замещения ионов железа [20,21].

В области температур от T_N и выше, обозначенной Г_п, экспериментальные спектры состоят из двух квадрупольных дублетов, соответствующих 8d- и 4с-ионам железа. Это означает, что в области Г_п вещество находится в парамагнитном состоянии. Температура Нееля определялась всеми способами, используемыми в мессбауэровской спектроскопии для установления температуры перехода в неупорядоченное состояние. 1) Из экспериментальных спектров, снятых в области фазового перехода, определяли спектр, на котором отсутствует зеемановское расщепление и наблюдаются только квадрупольные линии парамагнитной фазы. Значение температуры, при которой исчезают зеемановские линии, принимали за точку Нееля. 2) По методу температурного сканирования, когда при неподвижном источнике гамма-излучения определяется количество гамма-квантов, зарегистрированных детектором в зависимости от температуры. При приближении к T_N со стороны низких температур количество квантов, зарегистрированных детектором, увеличивается. В точке T_N кривая достигает насыщения, и при дальнейшем повышении температуры количество регистрируемых квантов не изменяется. Вышеперечисленные способы дали одинаковые значения T_N .

В области Г_с, которая простирается от температуры T_c до T_N , экспериментальные мессбауэровские спектры подобны спектрам области Г₃, за двумя исключениями. Начиная от температур T_c ширины внешних линий секстиплетов увеличивается, и это уширение растет по мере повышения температуры до T_N . Ширины внутренних линий секстиплетов в интервале температур от T_c до T_N не меняются. Кроме того, наблюдаемые в области Г_с экспериментальные спектры представляют собой наложение на спектры фазы Г_у линий парамагнитных дублетов фазы Г_п. Назовем такие спектры смешанными. При повышении температуры от T_c до T_N внешние линии секстиплетов сближаются и их интенсивности уменьшаются, а при T_N эти линии исчезают, в то время как интенсивность парамагнитных линий увеличивается.

Из экспериментальных спектров были определены параметры сверхтонкого взаимодействия. Температурные зависимости эффективных магнитных полей, полученные из ТМ-спектров, для $\text{Fe}_{2.75}\text{Ga}_{0.25}\text{VO}_6$ показаны на рис. 2. На этом рисунке приведены также зависимости эффективных магнитных полей для Fe_3VO_6 . Видно, что эффективные магнитные поля в $\text{Fe}_{2.75}\text{Ga}_{0.25}\text{VO}_6$ уменьшаются с повышением температуры быстрее, чем поля на ядрах ионов железа, находящихся в Fe_3VO_6 . В области температуры 375 К наблюдаются скачки в температурных зависимостях эффективных магнитных полей в $\text{Fe}_{2.75}\text{Ga}_{0.25}\text{VO}_6$. Аналогичное явление наблюдается и в Fe_3VO_6 в области спин-переориентационного фазового перехода при 415 К. Для проверки воспроизводимости результатов спектры снимались в разных последовательностях по температурной шкале. Анализ данных показал повторяемость полученных результатов.

На рис. 3,а,б приведены температурные зависимости квадрупольных расщеплений и изомерных химических сдвигов (относительно *bcc* железа). Необходимо отметить, что полученные параметры сверхтонких взаимодействий совпадают с приведенными в [27,28] для соответствующих замещений.

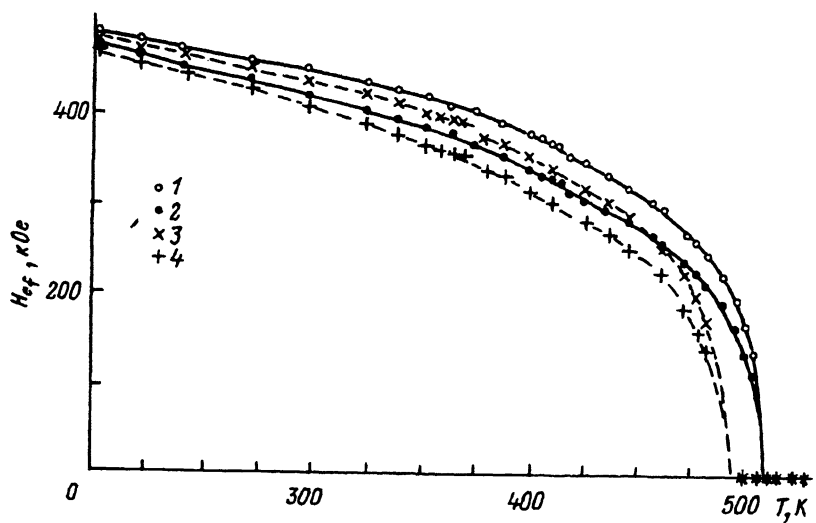


Рис. 2. Зависимости от температуры эффективных полей H_{eff} для 4с- и 8d-ионов железа в $\text{Fe}_{2.75}\text{Ga}_{0.25}\text{BO}_6$ (1,2) и Fe_3BO_6 (3,4) соответственно.
Точки соединены для наглядности.

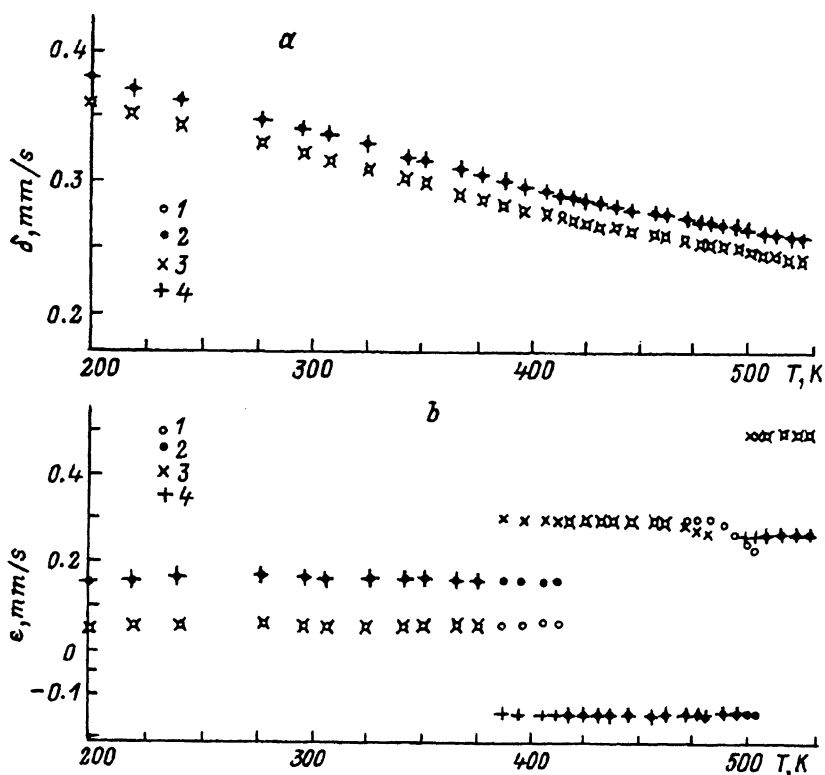


Рис. 3. Зависимости от температуры изомерных химических сдвигов (а) и квадрупольных расщеплений (б) для 4с- и 8d-ионов железа в $\text{Fe}_{2.75}\text{Ga}_{0.25}\text{BO}_6$ (1,2) и Fe_3BO_6 (3,4) соответственно.

Как видно из рис. 3,а, изомерные химические сдвиги имеют практическую линейную зависимость от температуры. В области спин-переориентационного фазового перехода изменений в температурной зависимости изомерных сдвигов не наблюдается, тогда как в точке Нееля имеет место излом. В области спин-переориентационного фазового перехода (375 К), как видно из рис. 3,б, на температурных зависимостях квадрупольных расщеплений наблюдаются скачки. Аналогичное явление наблюдается в Fe_3BO_6 в области СПФП (415 К). Такое скачкообразное изменение квадрупольных расщеплений является подтверждением того, что переориентация спинов в $\text{Fe}_{2.75}\text{Ga}_{0.25}\text{BO}_6$ происходит скачком, как СПФП первого рода.

Из сравнения изомерных химических сдвигов и квадрупольных расщеплений для Fe_3BO_6 и $\text{Fe}_{2.75}\text{Ga}_{0.25}\text{BO}_6$ видно, что при таком количестве замещения ионов железа ионами галлия не наблюдается изменений величин этих параметров, кроме как смещения точек фазовых переходов. Основные выводы работы сводятся к следующему.

Определены состав компонент и температурные условия для синтеза монокристаллов $\text{Fe}_{3-x}\text{Ga}_x\text{BO}_6$. Проведены исследования кристаллов с замещением ионов железа ионами галлия ($\text{Fe}_{2.75}\text{Ga}_{0.25}\text{BO}_6$).

Обнаружено, что при таком диамагнитном разбавлении ионов железа 1) не наблюдается изменений кристаллической структуры и магнитных свойств, 2) происходит понижение температур Нееля и СПФП, 3) переориентация спинов происходит как фазовый переход первого рода, т.е. скачком, как в кристаллах Fe_3BO_6 .

Список литературы

- [1] Kamsin A.S., Rusakov V.P., Grigor'ev L.A. Physics of Transition Metals. International Conf. USSR, 1988. Proceed. Pt 2. P. 271-275.
- [2] Камзин А.С., Григорьев Л.А. // Письма в ЖТФ. 1990. Т. 16. № 15. С. 48-52.
- [3] Камзин А.С., Григорьев Л.А. // ФТТ. 1990. Т. 32. № 2. С. 364-367; N 11. С. 327-328.
- [4] Камзин А.С., Григорьев Л.А. // Письма в ЖЭТФ. 1993. Т. 57. № 9. С. 543-547.
- [5] Камзин А.С., Григорьев Л.А. // ЖЭТФ. 1993. Т. 104. № 10.
- [6] Камзин А.С., Григорьев Л.А. // Письма в ЖЭТФ. 1993. Т. 57. № 9. С. 538-942.
- [7] Камзин А.С., Григорьев Л.А. // Письма в ЖТФ. 1990. Т. 16. № 16. С. 38-41.
- [8] Каганов М.И. // ЖЭТФ. 1980. Т. 79. № 4. С. 1544-1554.
- [9] Каганов М.П., Чубуков А.В. // Сб. «Магнитные свойства кристаллических и аморфных сред». Новосибирск: Наука, 1989. С. 148-165.
- [10] Kaneyoshi T. // J. Phys. Condens. Matter. 1991. V. 3. P. 4497-4522.
- [11] White J.G., Miller A., Nielsen R.E. // Acta Cryst. 1965. V. 19. P. 1060-1061.
- [12] Мальцев В.И., Найден Е.П., Жиляков С.М., Смолин Р.П., Борисюк Л.М. // Кристаллография. 1976. Т. 21. № 1. С. 113-117.
- [13] Wolfe R., Pierce R.D., Eibschutz M., Nielsen J.W. // Solid State Commun. 1969. V. 7. P. 949-952.
- [14] Баюков О.А., Иконников В.П., Петров М.И., Руденко В.В., Селезнев В.Н., Смолин Р.Н., Усков В.В. // Письма в ЖЭТФ. 1973. Т. 14. С. 49-53.
- [15] Баюков О.А., Бузник В.М., Иконников В.П., Петров М.И., Попов М.А. // ФТТ. 1976. Т. 18. № 8. С. 2435-2437.
- [16] Voigt C. // Phys. Lett. 1975. V. 53A. N 3. P. 223-224.
- [17] Voigt C., Schaaf A., Mullerwiebus E.U., Manderla N. // Phys. Lett. 1977. V. 63A. N 3. P. 377-378.
- [18] Voigt C., Manderla N. // AIP Conf. Pros. V. 29. 2th An. Conf. MMM-1979. P. 443-444.
- [19] Камзин А.С., Боков В.А., Чижков М.К. // ФТТ. 1976. Т. 18. № 9. С. 2795-2796.
- [20] Камзин А.С., Боков В.А. // ФТТ. 1977. Т. 19. № 7. С. 2131-2134.
- [21] Voigt C., Roos W. // J. Phys. C. Solid. State Phys. 1976. V. 9. P. L469-L472.

- [22] Камзин А.С., Боков В.А., Смоленский Г.А. // Письма в ЖЭТФ. 1978. Т. 27. № 9. С. 507–511.
- [23] Иршинский А.Л., Черепанов В.М. / ЖЭТФ. 1980. Т. 79. № 4. С. 1412–1420.
- [24] Соколов А.И. / Письма в ЖЭТФ. 1978. Т. 27. № 9. С. 511–514.
- [25] Pollman J., Rutter H.D., Leupold O., Moller J., Gerdau E. // Hyperfine Interactions, 1994. Proceed. Internat. Conference on Application Mossbauer Spectroscopy. Canada, 1993.
- [26] Камзин А.С., Боков В.А. // ФТТ. 1977. Т. 19. № 7. С. 2030–2932.
- [27] Баюков О.А., Иконников В.П., Петров М.П., Руденко В.В., Селезнев В.Н., Усков В.В. // Труды Междунар. конф. по магнетизму. МКМ-73. М., 1973. С. 313–317.
- [28] Koshizuka N., Hirano M., Okuta T., Nakamura S., Hiruma H., Tsushima T. // 20 Conf. Magnetism & Magnetic Materials-1974. Pt 1. P. 61–62.
- [29] Hirano M., Okuda T., Tsushima T., Umemura S., Kohn K., Nakamura S. // Solid State Commun. 1974. V. 15. P. 1129–1133.
- [30] Камзин А.С., Григорьев Л.А., Иркаев С.М., Мальцев Ю.Н. // ПТЭ. 1993. № 1. С. 80–88.

Физико-технический институт
им. А.Ф. Иоффе РАН
Санкт-Петербург

Поступило в Редакцию
5 ноября 1993 г.